

---

# Zobrazovací metody Monte Carlo

© 1996-2001 Josef Pelikán  
KSVI MFF UK Praha

e-mail: [Josef.Pelikan@mff.cuni.cz](mailto:Josef.Pelikan@mff.cuni.cz)

WWW: <http://cgg.ms.mff.cuni.cz/~pepca/>

# Operátory šíření světla

---

Zobrazovací rovnice pro **radianci**:

$$\mathbf{L} = \mathbf{e} + \mathbf{T}\mathbf{L}$$

$$\mathbf{L} = \mathbf{e} + \mathbf{T}\mathbf{e} + \mathbf{T}^2\mathbf{e} + \mathbf{T}^3\mathbf{e} + \dots$$

Integrální **operátor T** lze rozložit na difusní (**D**) a lesklou (**S**) složku odrazu:

$$\mathbf{T} = \mathbf{D} + \mathbf{S}$$

$$\mathbf{L} = \mathbf{e} + (\mathbf{D} + \mathbf{S})\mathbf{e} + (\mathbf{D} + \mathbf{S})^2\mathbf{e} + \dots$$

$$\mathbf{L} = \mathbf{e} + \mathbf{D}\mathbf{e} + \mathbf{S}\mathbf{e} + \mathbf{D}\mathbf{D}\mathbf{e} + \mathbf{D}\mathbf{S}\mathbf{e} + \mathbf{S}\mathbf{D}\mathbf{e} + \mathbf{S}\mathbf{S}\mathbf{e} + \dots$$

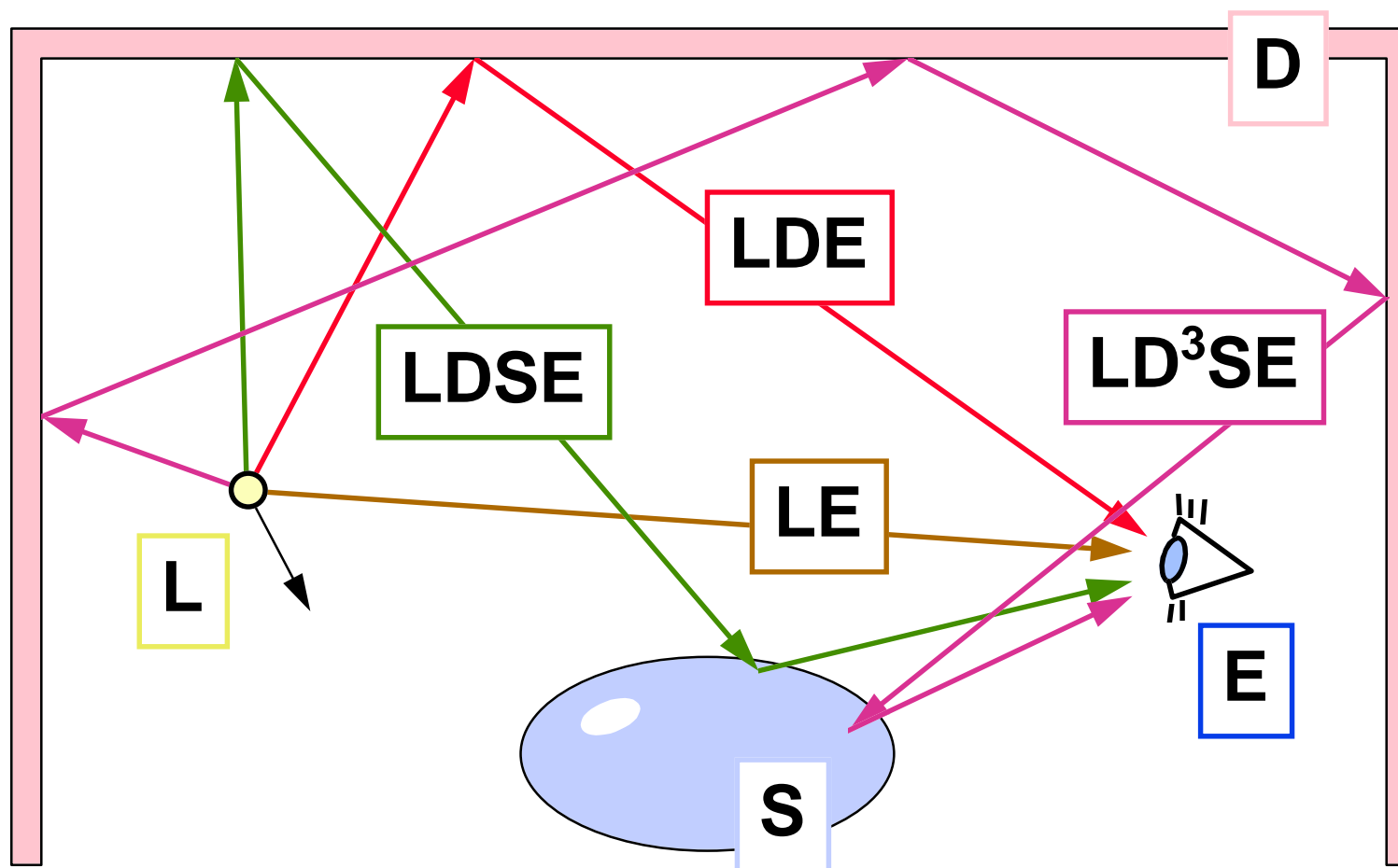
---

# Abeceda regulárních výrazů

---

- ◆ zdroj světla **L** (“light”)
- ◆ difusní odraz **D** (“diffuse”)
  - odraz podle Lambertova zákona (všesměrový)
- ◆ lesklý odraz **S** (“specular”)
  - směrový odraz, odlesk - směrová část BRDF
  - idealizovaný zrcadlový odraz: **S<sub>M</sub>**
- ◆ oko pozorovatele **E** (“eye”)
  - příspěvek výslednému obrazu

# Cesty šíření světla



# Klasické zobrazovací metody

---

- ➔ **stínování s odlesky a vrženými stíny** (např. Phongův model):  **$L(D|S)E$** 
  - často se ignoruje výpočet vržených stínů
- ➔ **rekurzivní sledování paprsku (Whitted):**  
 **$L[D|S]S_M^*E$** 
  - první lesklý odraz se počítá přesně, ostatní se nahrazují ideálním zrcadlovým odrazem

# Klasické zobrazovací metody

---

- ➔ **distribučované sledování paprsku (Cook):**  
 **$L[D]S^*E$** 
  - všechny lesklé odrazy se odhadují korektně
- ➔ obyčejná **radiační metoda:  $LD^*E$** 
  - pouze měkké odrazy světla
- ◆ **všechny možné cesty světla:  $L(D|S)^*E$** 
  - přesné řešení zobrazovacích rovnic (Kajiya)

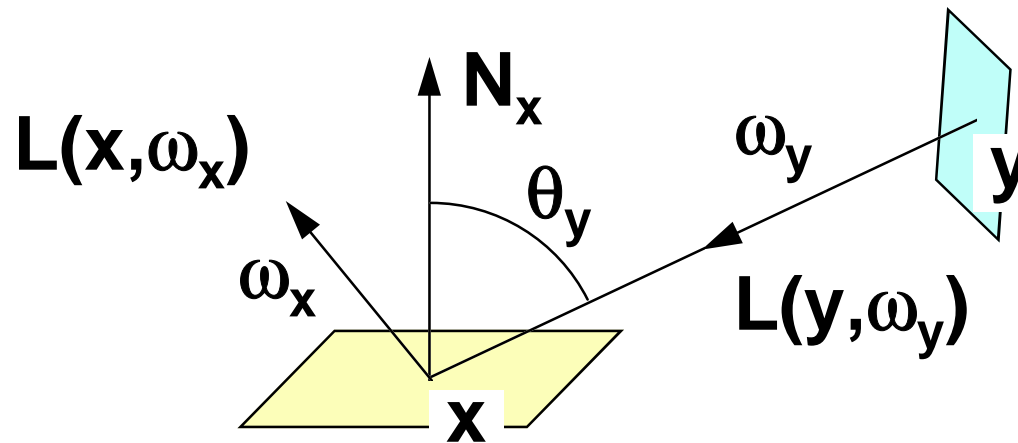
# Monte Carlo zobrazování

---

- ◆ integrál zobrazovací rovnice je často **mnoho-rozměrný**
  - anti-aliasing, hloubka ostrosti, rozmazání pohybem
  - Monte Carlo metody nejsou citlivé na více dimenzí
- ◆ integrandy mají mnoho **nespojností** různých druhů
- ◆ **nepožaduje se velká přesnost**
  - lidské vidění má omezenou absolutní citlivost
  - běžně postačí přesnost 0.1 - 1 %

# Zobrazovací rovnice pro radianci

---



$$\mathbf{L}(\mathbf{x}, \omega_x) =$$

$$= \mathbf{L}_e(\mathbf{x}, \omega_x) + \int_{\Omega_x^{-1}} \mathbf{f}(\mathbf{x}, \omega_y \rightarrow \omega_x) \cdot \mathbf{L}(\mathbf{y}, \omega_y) \cdot \cos \theta_y \, d\omega_y$$

$$\Phi_o(\mathbf{S}) = \int_A \int_{\Omega_x} \mathbf{L}(\mathbf{x}, \omega_x) \cdot \mathbf{W}_e(\mathbf{x}, \omega_x, \mathbf{S}) \cdot \cos \theta_x \, d\omega_x \, dA_x$$



# Path tracing

---

**Výkon** procházející pixelem (anti-aliasing, hloubka ostrosti):

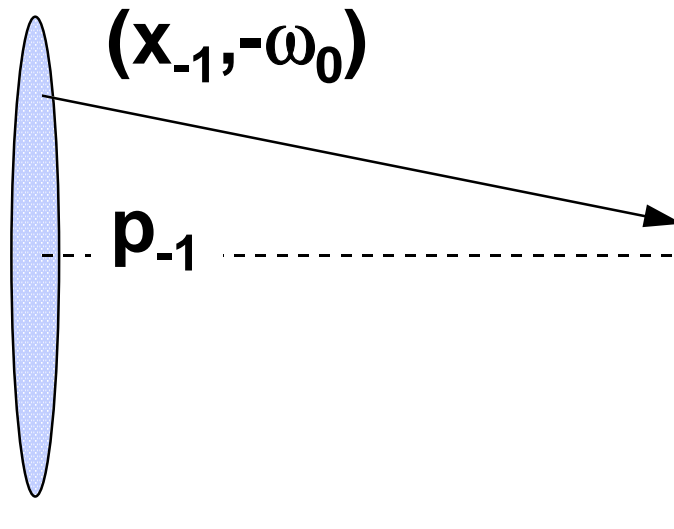
$$\langle \Phi(\mathbf{S}) \rangle_{\text{path}} = \frac{\mathbf{W}_e(\mathbf{x}_0, \omega_0, \mathbf{S}) \cdot \cos \psi}{\mathbf{p}_0(\mathbf{x}_0, \omega_0)} \cdot \langle \mathbf{L}(\mathbf{x}_0, \omega_0) \rangle_{\text{path}}$$

$(\mathbf{x}_0, \omega_0)$  se týká bodu na povrchu tělesa, do kterého dopadne sledovaný paprsek;  $\mathbf{p}_0$  je příslušná hustota pravděpodobnosti. Vzorkování na čočce objektivu  $\mathbf{p}_{-1}$ :

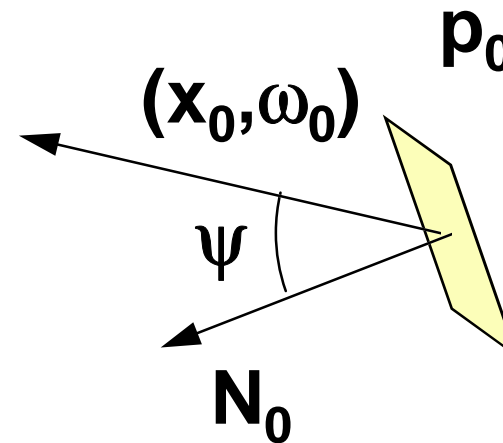
$$\mathbf{p}_0(\mathbf{x}_0, \omega_0) = \frac{\mathbf{p}_{-1}(\mathbf{x}_{-1}, \omega_0) \cdot \cos \psi}{\|\mathbf{x}_{-1} - \mathbf{x}_0\|^2}$$

# Primární paprsek

---



**hloubka ostrosti,  
anti-aliasing**



světlo vycházející  
z bodu  $\mathbf{x}_0$  směrem  $\omega_0$

# Path tracing

---

Odhad  $\mathbf{L}(\mathbf{x}_0, \omega_0)$  metodou **Monte Carlo** omezený pomocí ruské rulety:

$$\langle \Phi(\mathbf{S}) \rangle_{\text{path}} = \frac{\mathbf{W}_e(\mathbf{x}_0, \omega_0, \mathbf{S}) \cdot \cos \psi}{\mathbf{p}_0(\mathbf{x}_0, \omega_0)} .$$

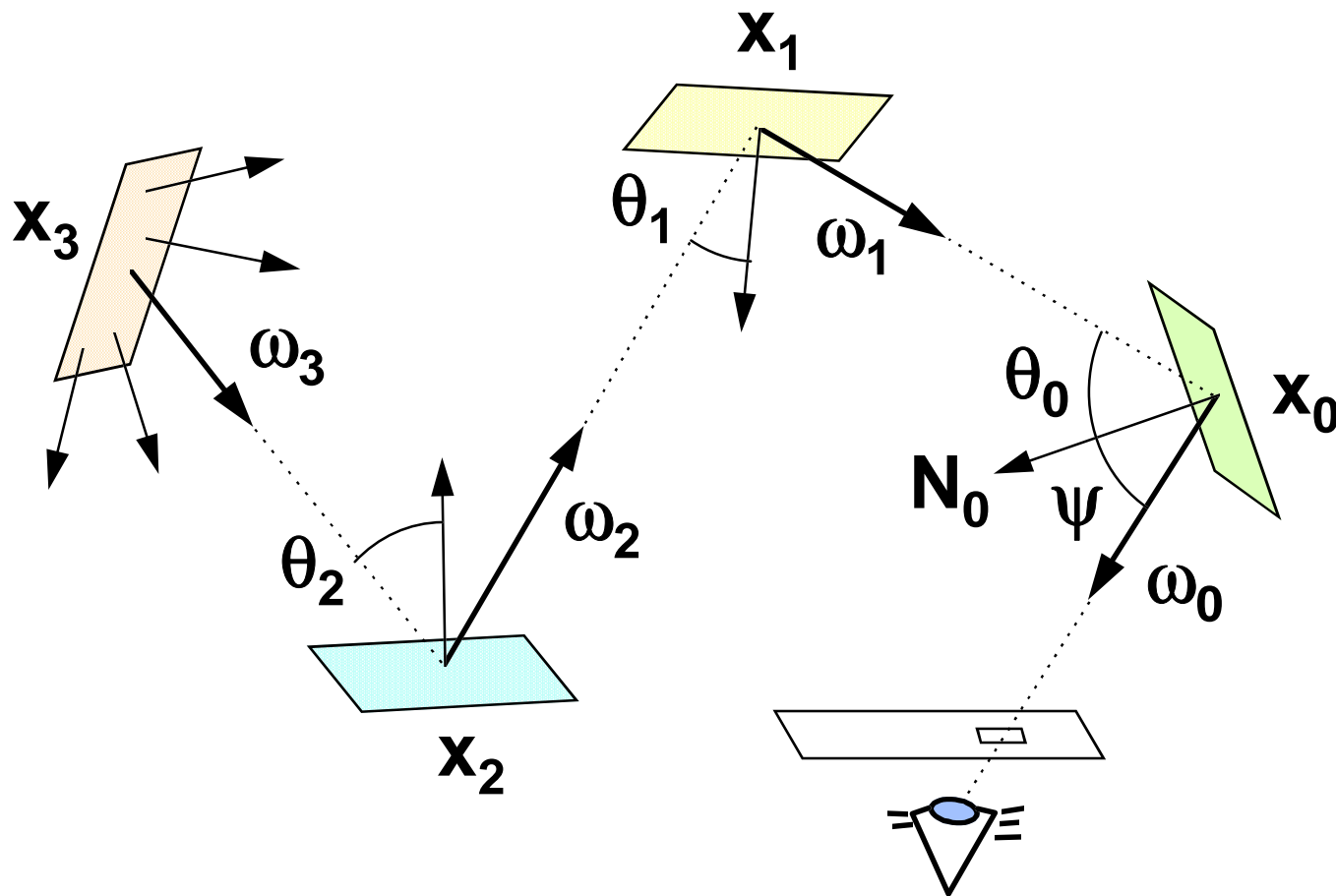
$$\cdot \sum_{i=0}^k \left[ \prod_{j=1}^i \frac{\mathbf{f}(\mathbf{x}_{j-1}, \omega_j \rightarrow \omega_{j-1}) \cdot \cos \theta_{j-1}}{\mathbf{P}_j \cdot \mathbf{p}_j(\omega_j)} \right] \cdot \mathbf{L}_e(\mathbf{x}_i, \omega_i)$$

pravděpodobnost  
pokračování krokem  $\mathbf{j}$

hustota pravděp.  
pro vstupní směr  $\omega_j$

# Schema šíření světla

---



# Vzorkování podle důležitosti

---

Pro výkon procházející pixelem (druhý integrál):

$$\underline{p_0(\mathbf{x}_0, \omega_0)} = \frac{\mathbf{W}_e(\mathbf{x}_0, \omega_0, \mathbf{S}) \cdot \cos \psi}{\mathbf{W}(\mathbf{S})}, \text{ kde}$$

$$\mathbf{W}(\mathbf{S}) = \int_A \int_{\Omega_x} \mathbf{W}_e(\mathbf{x}, \omega_x, \mathbf{S}) \cdot \cos \theta_x \, d\omega_x \, dA_x$$

V zobrazovací rovnici (první integrál) známe člen  $\mathbf{f}(\mathbf{x}, \omega_y \rightarrow \omega_x) \cos \theta_y$ ; protože je podle fyzikálních podmínek menší než **1**, můžeme ho použít ke konstrukci subkritické hustoty pravděpodobnosti.

# Vzorkování podle BRDF

---

**Pravděpodobnost pokračování krokem j:**

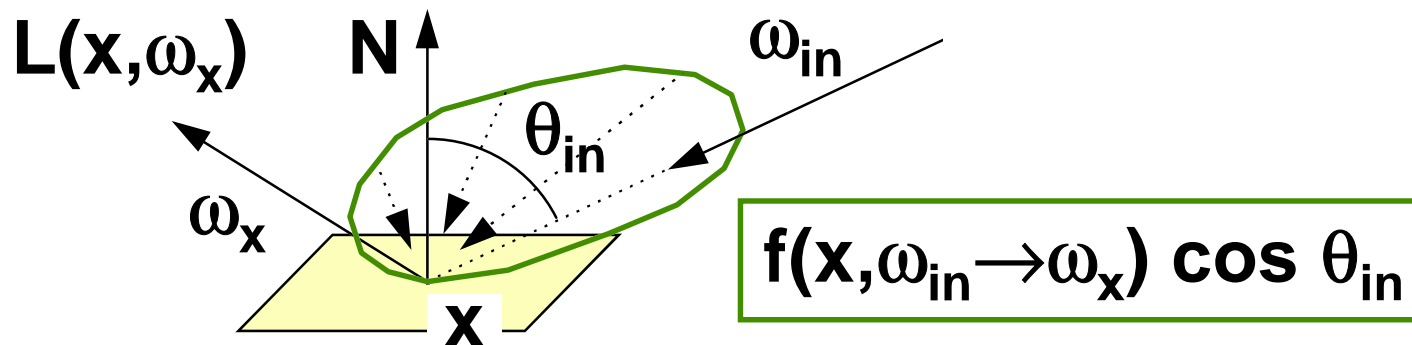
$$\underline{P_j} = \int_{\Omega^{-1}} \mathbf{f}(\mathbf{x}_{j-1}, \omega_{in} \rightarrow \omega_{j-1}) \cdot \mathbf{cos} \theta_{in} \, d\omega_{in}$$

Hustota pravděpodobnosti pro směr pokračování  $\omega_j$ :

$$\underline{p_j}(\omega_j) = \frac{\mathbf{f}(\mathbf{x}_{j-1}, \omega_j \rightarrow \omega_{j-1}) \cdot \mathbf{cos} \theta_{j-1}}{P_j}$$

# Vzorkování podle BRDF

---



Celkový primární odhad s využitím všech uvedených pravděpodobností:

$$\langle \Phi(\mathbf{S}) \rangle_{\text{path,imp}} = \mathbf{W}(\mathbf{S}) \cdot \sum_{i=0}^k \mathbf{L}_e(\mathbf{x}_i, \omega_i)$$

# Odhad příští události (NEE)

---

Rozdělení nepřímého osvětlení na dvě složky:

$$\mathbf{L}(\mathbf{x}, \omega_x) = \mathbf{L}_e(\mathbf{x}, \omega_x) + \mathbf{L}_r(\mathbf{x}, \omega_x)$$

$$\mathbf{L}_r(\mathbf{x}, \omega_x) = \int_{\Omega_x^{-1}} \mathbf{f}(\mathbf{x}, \omega_y \rightarrow \omega_x) \cdot \mathbf{L}(\mathbf{y}, \omega_y) \cdot \cos\theta_y \, d\omega_y =$$

$$\begin{aligned} &= \int_A \mathbf{f}(\mathbf{x}, \omega_y \rightarrow \omega_x) \cdot \mathbf{L}_e(\mathbf{y}, \omega_y) \cdot \mathbf{G}(\mathbf{y}, \mathbf{x}) \, dA_y + \\ &+ \int_{\Omega_x^{-1}} \mathbf{f}(\mathbf{x}, \omega_y \rightarrow \omega_x) \cdot \mathbf{L}_r(\mathbf{y}, \omega_y) \cdot \cos\theta_y \, d\omega_y \end{aligned}$$



# Příspěvek přímého osvětlení

---

Geometrický člen  $\mathbf{G}(\mathbf{y}, \mathbf{x})$ :

$$\mathbf{G}(\mathbf{y}, \mathbf{x}) = \mathbf{v}(\mathbf{y}, \mathbf{x}) \cdot \frac{\cos \theta_{\mathbf{y}, \text{out}} \cdot \cos \theta_{\mathbf{x}, \text{in}}}{\|\mathbf{x} - \mathbf{y}\|^2}$$

faktor viditelnosti

Příspěvek **přímého osvětlení** je vyjádřen prvním integrálem (integruje se přes všechny plošné zdroje ve scéně). **Hustota pravděpodobnosti** pro odhad této složky se konstruuje pomocí radiosity zdroje:

# Vzorkování světelných zdrojů

---

hustota pravděpodobnosti pro **příspěvek**  
**přímého osvětlení:**

$$\mathbf{p}(\mathbf{y}) = \frac{\mathbf{L}(\mathbf{y})}{\mathbf{L}}$$

radiosita emitovaná z bodu  $\mathbf{y}$

$$\mathbf{L}(\mathbf{y}) = \int_{\Omega_{\mathbf{y}}} \mathbf{L}_e(\mathbf{y}, \omega_{\mathbf{y}}) \cdot \cos \theta_{\mathbf{y}} \, d\omega_{\mathbf{y}}$$

$$\mathbf{L} = \int_A \int_{\Omega_{\mathbf{y}}} \mathbf{L}_e(\mathbf{y}, \omega_{\mathbf{y}}) \cdot \cos \theta_{\mathbf{y}} \, d\omega_{\mathbf{y}} \, dA_{\mathbf{y}}$$

celkový emitovaný výkon

# Odhad příští události

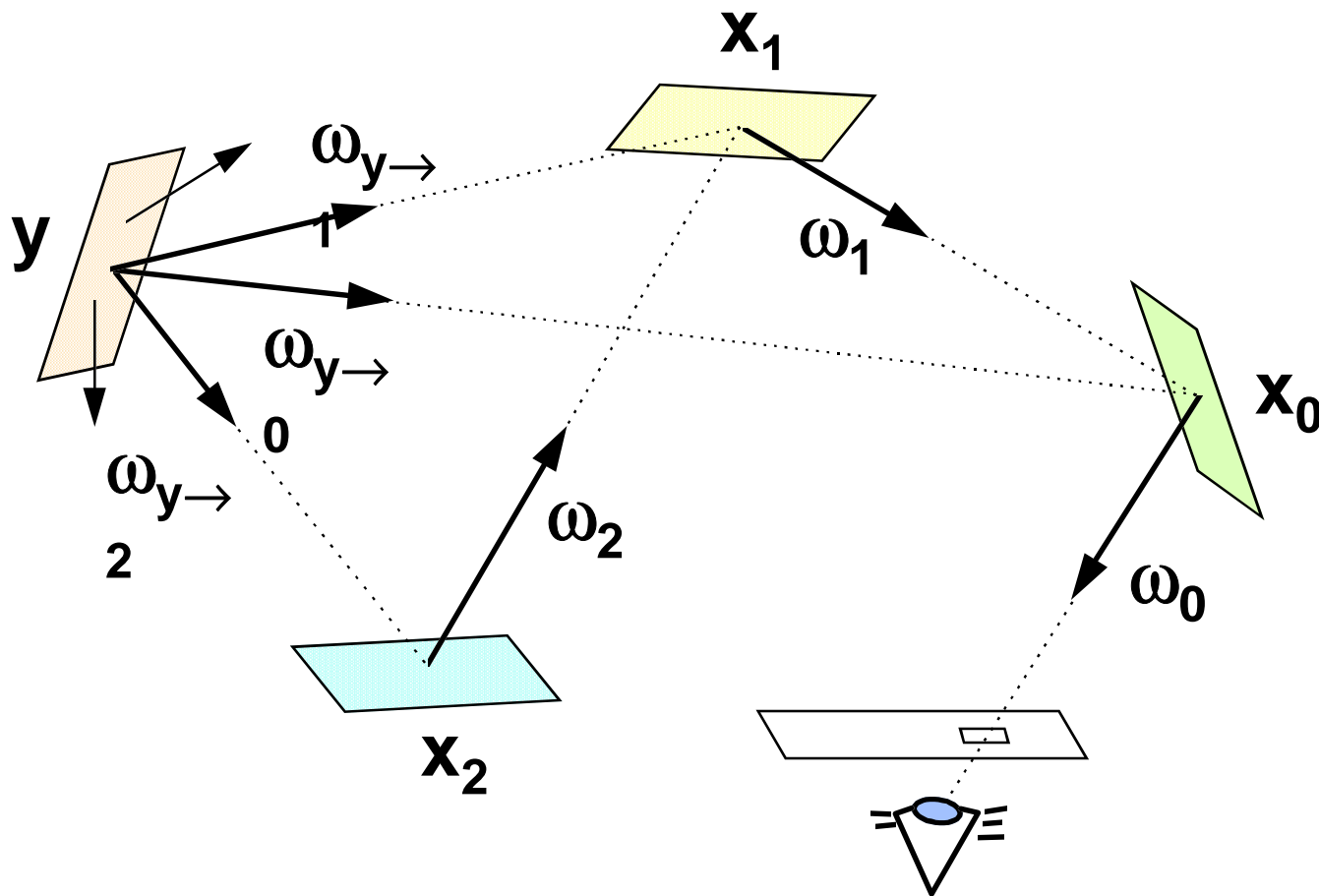
---

Vzorkování podle **BRDF** (subkritická hustota pravděpodobnosti) s **ruskou ruletou** a **odhadem příští události**:

$$\langle \Phi(\mathbf{S}) \rangle_{\text{path,imp,nee}} = \mathbf{W}(\mathbf{S}) \cdot \left[ \mathbf{L}_e(\mathbf{x}_0, \omega_0) + \frac{\mathbf{L}}{\mathbf{L}(\mathbf{y})} \sum_{i=0}^k \mathbf{L}_e(\mathbf{y}, \omega_{\mathbf{y} \rightarrow i}) \cdot \mathbf{f}(\mathbf{x}_i, \omega_{\mathbf{y} \rightarrow i}, \omega_i) \cdot \mathbf{G}(\mathbf{y}, \mathbf{x}_i) \right]$$

# Schema šíření světla (NEE)

---



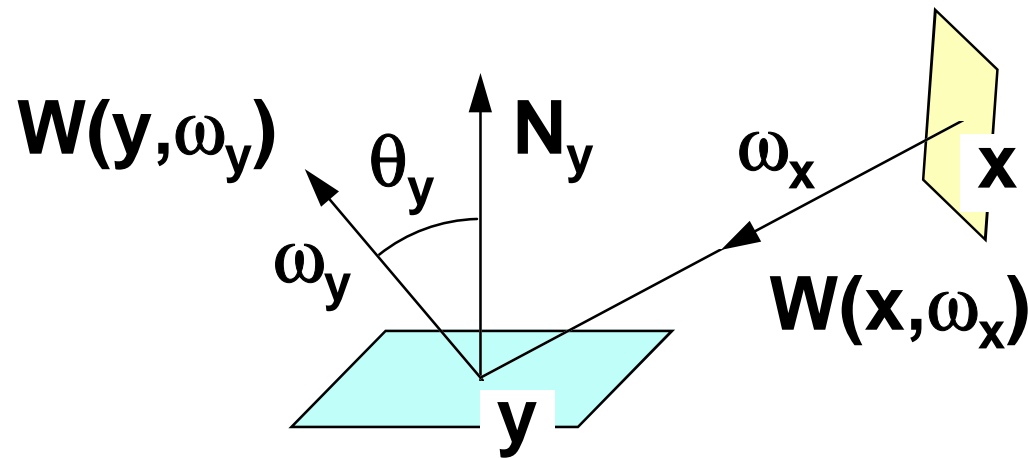
# Odhad příští události

---

- ◆ je nejvýhodnější pro scény s **malými** ale **dobře viditelnými** plochami světelných zdrojů
  - vzorkování světelných zdrojů je dominantní
- ◆ vzorkování zdrojů nebere v úvahu jejich **viditelnost**
  - dokonalejší metody počítají i s **BRDF** nebo geometrickými faktory  **$G(\mathbf{y}, \mathbf{x}_i)$**
- ◆ **vzorkování světelných zdrojů** se může provádět v každém kroku  **$\mathbf{x}_i$**

# Zobraz. rovnice pro potenciál

---



$$\mathbf{W}(\mathbf{x}, \omega_x) =$$

$$= \mathbf{W}_e(\mathbf{x}, \omega_x) + \int_{\Omega_y} \mathbf{f}(\mathbf{y}, \omega_x \rightarrow \omega_y) \cdot \mathbf{W}(\mathbf{y}, \omega_y) \cdot \cos \theta_y \, d\omega_y$$

$$\Phi_o(\mathbf{S}) = \int_A \int_{\Omega_x} \mathbf{L}_e(\mathbf{x}, \omega_x) \cdot \mathbf{W}(\mathbf{x}, \omega_x, \mathbf{S}) \cdot \cos \theta_x \, d\omega_x \, dA_x$$

# Light tracing

---

Paprsek vycházející ze zdroje (vyzařovací charakteristiky zdroje):

$$\langle \Phi(\mathbf{S}) \rangle_{\text{light}} = \frac{\mathbf{L}_e(\mathbf{x}_0, \omega_0) \cdot \mathbf{cos} \theta_0}{\mathbf{p}_0(\mathbf{x}_0, \omega_0)} \cdot \langle \mathbf{W}(\mathbf{x}_0, \omega_0, \mathbf{S}) \rangle_{\text{light}}$$

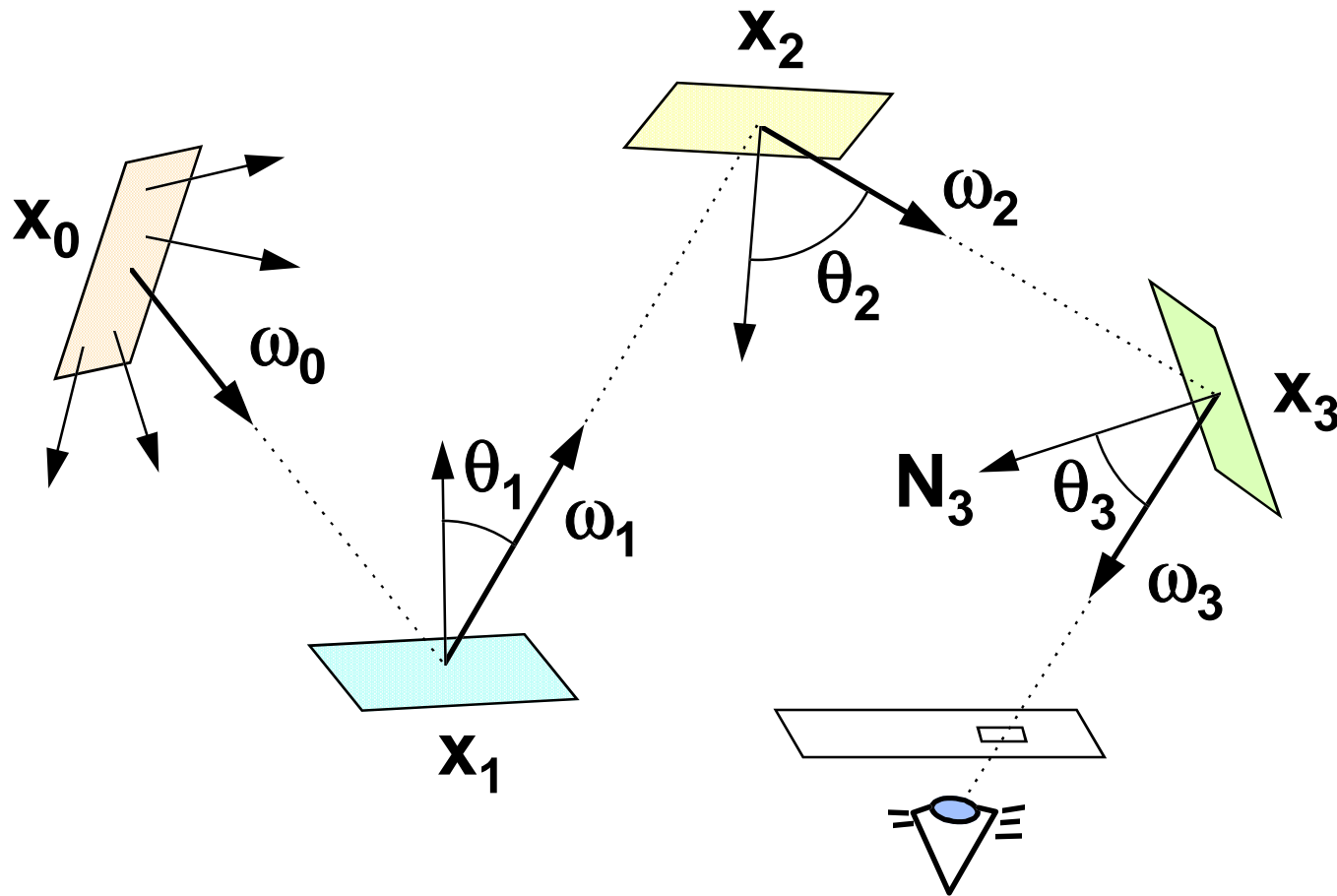
$$\langle \Phi(\mathbf{S}) \rangle_{\text{light}} = \frac{\mathbf{L}_e(\mathbf{x}_0, \omega_0) \cdot \mathbf{cos} \theta_0}{\mathbf{p}_0(\mathbf{x}_0, \omega_0)} \cdot$$

**celkový  
odhad**

$$\cdot \sum_{i=0}^k \left[ \prod_{j=1}^i \frac{\mathbf{f}(\mathbf{x}_j, \omega_{j-1} \rightarrow \omega_j) \cdot \mathbf{cos} \theta_j}{\mathbf{P}_j \cdot \mathbf{p}_j(\omega_j)} \right] \cdot \mathbf{W}_e(\mathbf{x}_i, \omega_i, \mathbf{S})$$

# Schema šíření světla (střílení)

---





# Vzorkování podle důležitosti

---

Pro vyzařování světelného zdroje (druhý integrál):

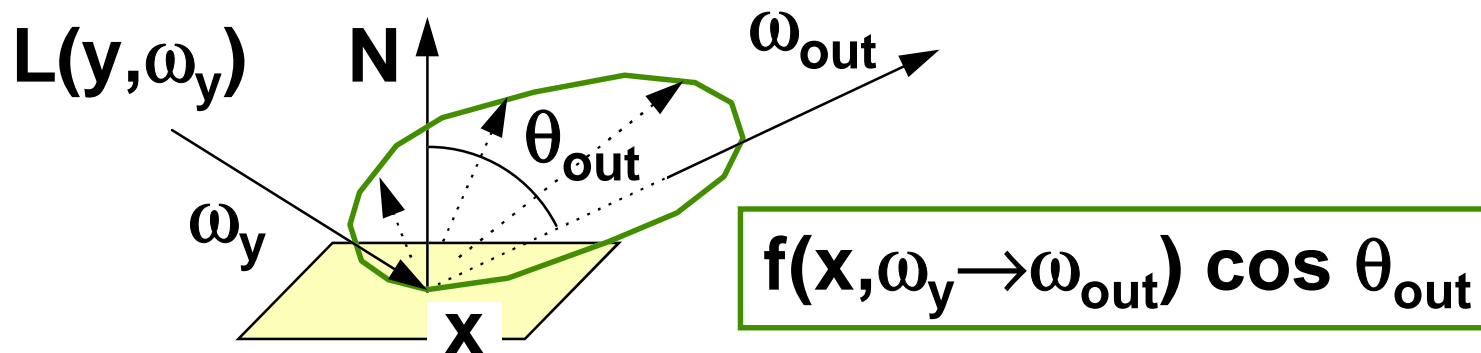
$$\underline{\mathbf{p}_0(\mathbf{x}_0, \omega_0)} = \frac{\mathbf{L}_e(\mathbf{x}_0, \omega_0) \cdot \mathbf{cos} \theta_0}{\mathbf{L}}$$

Pro pravděpodobnost pokračování a směr odraženého paprsku (první integrál) se použije metoda subkritické pravděpodobnosti (BRDF v bodě  $\mathbf{p}_j$ ):

$$\underline{\mathbf{P}_j \cdot \mathbf{p}_j(\omega_j)} = \mathbf{f}(\mathbf{x}_j, \omega_{j-1} \rightarrow \omega_j) \cdot \mathbf{cos} \theta_j$$

# Vzorkování podle BRDF

---



Celkový primární odhad s využitím všech uvedených pravděpodobností:

$$\langle \Phi(\mathbf{S}) \rangle_{\text{light,imp}} = L \cdot \sum_{i=0}^k W_e(\mathbf{x}_i, \omega_i, \mathbf{S})$$

# Odhad příští události (NEE)

Rozdělení **odraženého světla** na dvě složky (bez **S**):

$$\mathbf{W}(\mathbf{x}, \omega_x) = \mathbf{W}_e(\mathbf{x}, \omega_x) + \mathbf{W}_r(\mathbf{x}, \omega_x)$$

$$\underline{\mathbf{W}_r(\mathbf{x}, \omega_x)} = \int_{\Omega_y} \mathbf{f}(\mathbf{y}, \omega_x \rightarrow \omega_y) \cdot \mathbf{W}(\mathbf{y}, \omega_y) \cdot \cos \theta_y \, d\omega_y =$$

plocha  
objektivu

$$= \int_{\underline{A_{pe}}} \mathbf{f}(\mathbf{y}, \omega_x \rightarrow \underline{\omega_z}) \cdot \mathbf{W}_e(\mathbf{y}, \underline{\omega_z}) \cdot \mathbf{G}(\mathbf{y}, \underline{z}) \, \underline{dA_z} +$$
$$+ \int_{\Omega_y} \mathbf{f}(\mathbf{y}, \omega_x \rightarrow \omega_y) \cdot \mathbf{W}_r(\mathbf{y}, \omega_y) \cdot \cos \theta_y \, d\omega_y$$

# Odhad příští události

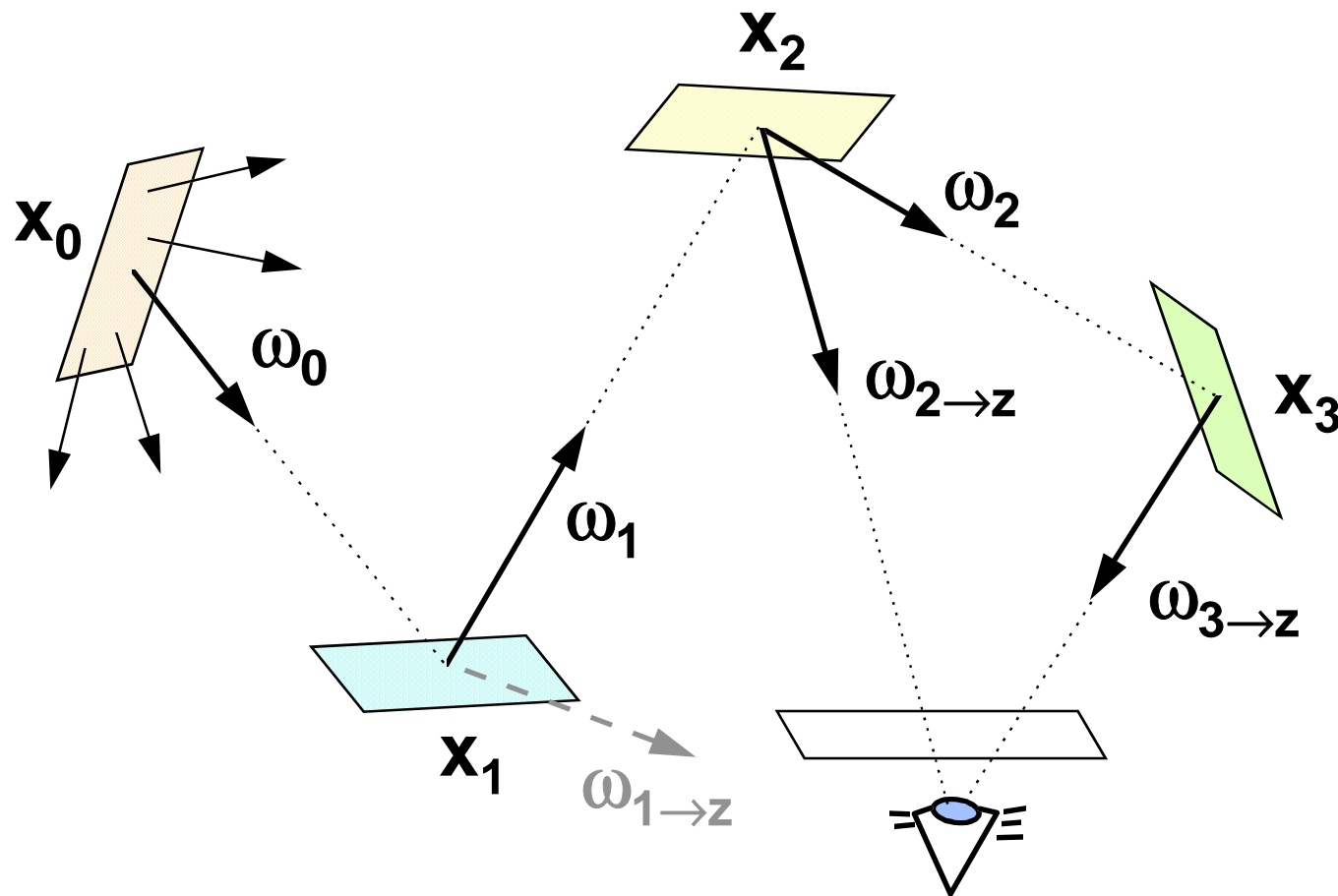
---

Vzorkování podle **BRDF** (subkritická hustota pravděpodobnosti) s **ruskou ruletou** a **odhadem příští události**:

$$\langle \Phi(\mathbf{S}) \rangle_{\text{light,imp,nee}} = \mathbf{L} \cdot \left[ \mathbf{W}_e(\mathbf{x}_0, \omega_0, \mathbf{S}) + \mathbf{A}_{pe} \cdot \sum_{i=1}^{k+1} \mathbf{W}_e(\mathbf{x}_i, \omega_{i \rightarrow \mathbf{z}}, \mathbf{S}) \cdot \mathbf{f}(\mathbf{x}_i, \omega_{i-1}, \omega_{i \rightarrow \mathbf{z}}) \cdot \mathbf{G}(\mathbf{x}_i, \mathbf{z}) \right]$$

# Schema šíření světla (NEE)

---



# Aplikace

---

Použití metody “**light-tracing**”:

- ◆ **přímý výpočet realistického obrázku**
  - světlo se přijímá kamerou a ukládá v průmětně
- ◆ **pomocný výpočet pro některou kombinovanou (hybridní) metodu**
  - světlo se ukládá do tzv. světelných map (fotonové mapy, “particle-tracing”)
  - větší suma potenciálu  $\mathbf{W}_e$  vede k efektivnějšímu výpočtu

# Obousměrné sledování paprsku

(“bidirectional path-tracing”)

Kombinovaná **globální zobrazovací rovnice**:

vlastní emitovaná radiance

GRDF

diskrétní potenciál

$$\Phi(\mathbf{S}) = \iint_{A, \Omega_x} \iint_{A, \Omega_y} L_e(\mathbf{x}, \omega_x) W_e(\mathbf{y}, \omega_y, \mathbf{S}) F(\mathbf{x}, \omega_x \rightarrow \mathbf{y}, \omega_y) \cos \theta_y \cos \theta_x d\omega_y dA_y d\omega_x dA_x$$

integrály přes všechny plochy a směry zdrojů a všechny plochy a směry receptorů

# Odhad světelného toku

---

Výkon procházející pixelem (anti-aliasing, hloubka ostrosti), vyzařování světelného zdroje:

$$\langle \Phi(\mathbf{S}) \rangle_{\text{bipath}} = \frac{\mathbf{L}_e(\mathbf{x}_0, \omega_{x0}) \cos \theta_{x0}}{\mathbf{p}_0(\mathbf{x}_0, \omega_{x0})} \cdot \frac{\mathbf{W}_e(\mathbf{y}_0, \omega_{y0}, \mathbf{S}) \cos \theta_{y0}}{\mathbf{q}_0(\mathbf{y}_0, \omega_{y0})} \cdot \langle \mathbf{F}(\mathbf{x}_0, \omega_{x0} \rightarrow \mathbf{y}_0, \omega_{y0}) \rangle_{\text{bipath}}$$

$\mathbf{p}_0$  ... hustota pravděpodobnosti náhodné dvojice  $[\mathbf{x}_0, \omega_{x0}]$ ,  $\mathbf{q}_0$  ... h. p. náhodné dvojice  $[\mathbf{y}_0, \omega_{y0}]$



# Rekurentní definice GRDF

---

První odraz:

$$\mathbf{F}(\mathbf{x}, \omega_x \rightarrow \mathbf{y}, \omega_y) = \delta(\mathbf{x}, \omega_x, \mathbf{y}, \omega_y) + \int_{\Omega_z} \mathbf{f}(\mathbf{z}, \omega_x \rightarrow \omega_z) \cdot \mathbf{F}(\mathbf{z}, \omega_z \rightarrow \mathbf{y}, \omega_y) \cdot \cos \theta_z \, d\omega_z$$

Poslední odraz:

$$\mathbf{F}(\mathbf{x}, \omega_x \rightarrow \mathbf{y}, \omega_y) = \delta(\mathbf{x}, \omega_x, \mathbf{y}, \omega_y) + \int_{\Omega_y^{-1}} \mathbf{f}(\mathbf{y}, \omega_z \rightarrow \omega_y) \cdot \mathbf{F}(\mathbf{x}, \omega_x \rightarrow \mathbf{z}, \omega_z) \cdot \cos \theta_y \, d\omega_z$$

# Odhad GRDF

---

Lineární kombinace obou rekurzivních vzorců:

$$\underline{\mathbf{F} = \delta + \mathbf{w}^* \mathbf{T}^* \mathbf{F} + \mathbf{w} \mathbf{T} \mathbf{F}}, \quad \mathbf{w} + \mathbf{w}^* = 1$$

Nekonečná Neumannova řada:

$$\underline{\mathbf{F} = \sum_{i=0}^{\infty} \sum_{j=0}^{\infty} w_{ij} \mathbf{T}^{*i} \mathbf{T}^j \delta}, \quad \sum_{i=0}^N w_{i,N-i} = 1$$

$\mathbf{T}$  i  $\mathbf{T}^*$  se odhadují stochasticky pomocí náhodné procházky ukončované ruskou ruletou. Bez odhadu příští události však má tato metoda **velký rozptyl**.

# Obousměrné sledování paprsku

---

**T\*** se odhaduje sledováním dráhy světla **od zdroje** (“**light tracing**”):

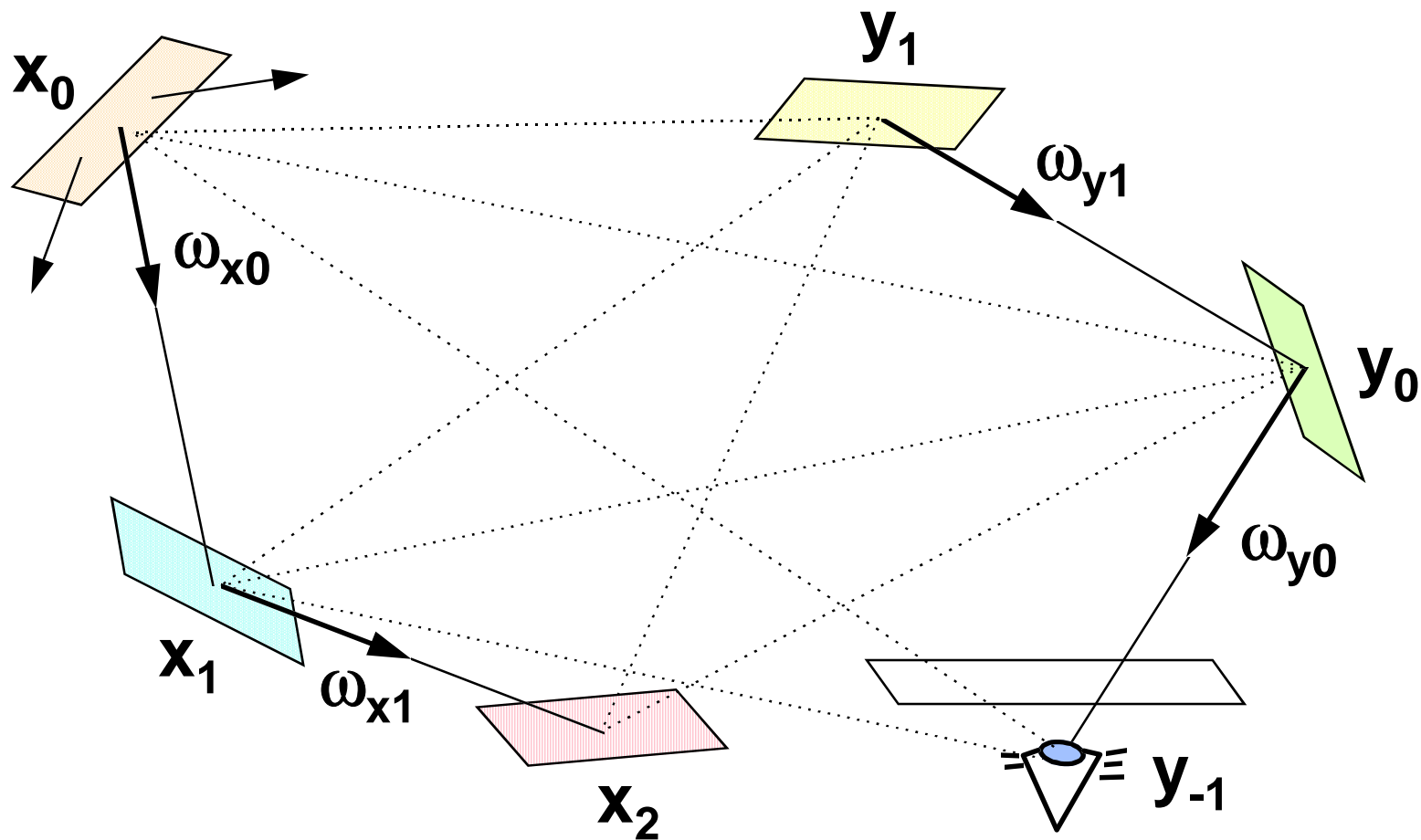
$\mathbf{x}_0, \mathbf{x}_1, \dots, \mathbf{x}_{k^*}$  - směr  $\omega_{\mathbf{x}_i}$  se vybírá podle hustoty pravděpodobnosti  $\mathbf{p}_i(\omega_{\mathbf{x}_i})$ , pravděpodobnost pokračování je  $\mathbf{P}_i$

**T** se odhaduje zpětným sledováním dráhy světla **od pozorovatele** (“**path tracing**”):

$\mathbf{y}_0, \mathbf{y}_1, \dots, \mathbf{y}_k$  - směr  $\omega_{\mathbf{y}_i}$  se vybírá podle hustoty pravděpodobnosti  $\mathbf{q}_i(\omega_{\mathbf{y}_i})$ , pravděpodobnost pokračování je  $\mathbf{Q}_i$

# Schema šíření světla (NEE)

---



# Odhad příští události (NEE)

---

S přidáním neuzavřených cest:

$$\langle \Phi(\mathbf{S}) \rangle_{\text{bipath,nee}} = \sum_{i=-1}^k \sum_{j=-1}^{k^*} w_{ij} C_{ij}$$

$i=-1, j>0$ : cesta od pozorovatele (bez NEE)

$i=0, j \geq 0$ : cesta od pozorovatele se vzorkem na zdroji

$i>0, j>0$ : světlo  $i$ -krát odražené od zdroje a  $j$ -krát od pozorovatele

$i \geq 0, j=0$ : cesta od zdroje se vzorkem na receptoru

$i>0, j=-1$ : cesta od zdroje (bez NEE - neefektivní)

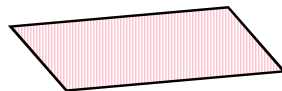
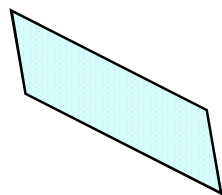
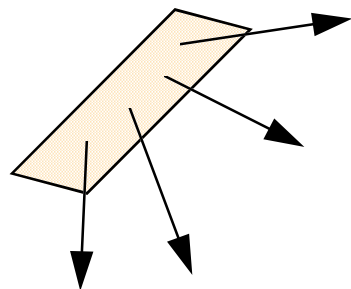
# Přehled vzorkování

závislost příspěvku na	vzorku na cestě od zdroje světla					
	$x_0$	$x_1$	$x_2$	$x_3$		
vzorku na cestě od receptoru			$C_{1,-1}$	$C_{2,-1}$	$C_{3,-1}$	
	$y_{-1}$	$C_{0,0}$	$C_{1,0}$	$C_{2,0}$	$C_{3,0}$	
	$y_0$	$C_{-1,1}$	$C_{0,1}$	$C_{1,1}$	$C_{2,1}$	$C_{3,1}$
	$y_2$	$C_{-1,2}$	$C_{0,2}$	$C_{1,2}$	$C_{2,2}$	$C_{3,2}$

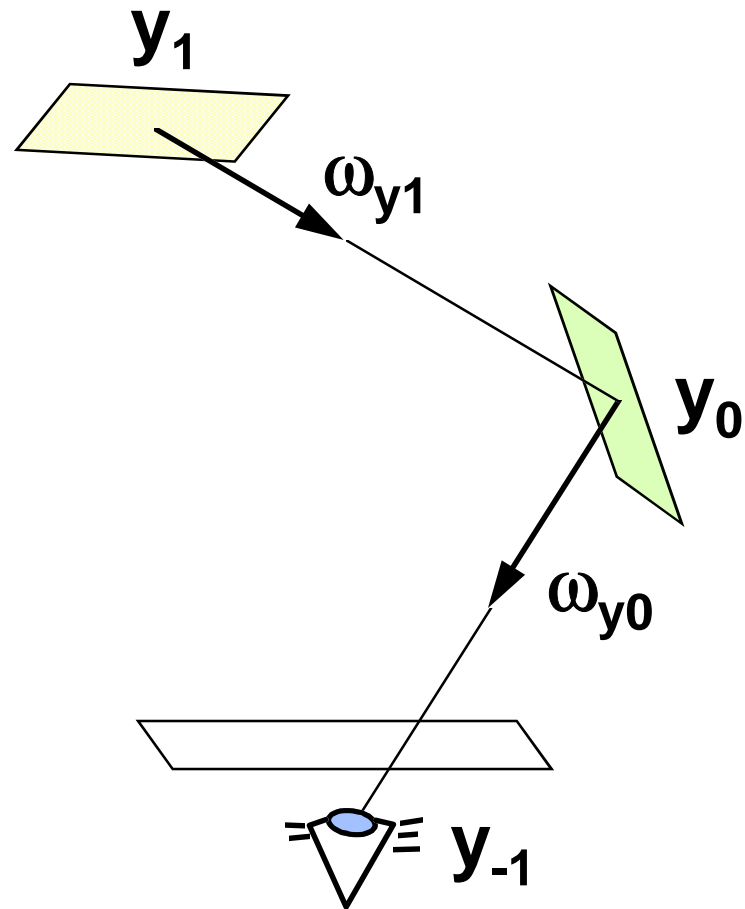
Diagram illustrating the sampling process. The table shows the dependence of the contribution on the sampling point on the path from the light source (top) and the sampling point on the path from the receptor (left). The sampling points are labeled  $x_0, x_1, x_2, x_3$  and  $y_{-1}, y_0, y_2$ . The contribution values are  $C_{i,j}$ . Annotations include 'LT' (Light Transmittance) pointing to  $C_{0,0}$  and 'PT' (Path Transmittance) pointing to  $C_{0,0}$ .

# Neuzavřená cesta od receptoru

---

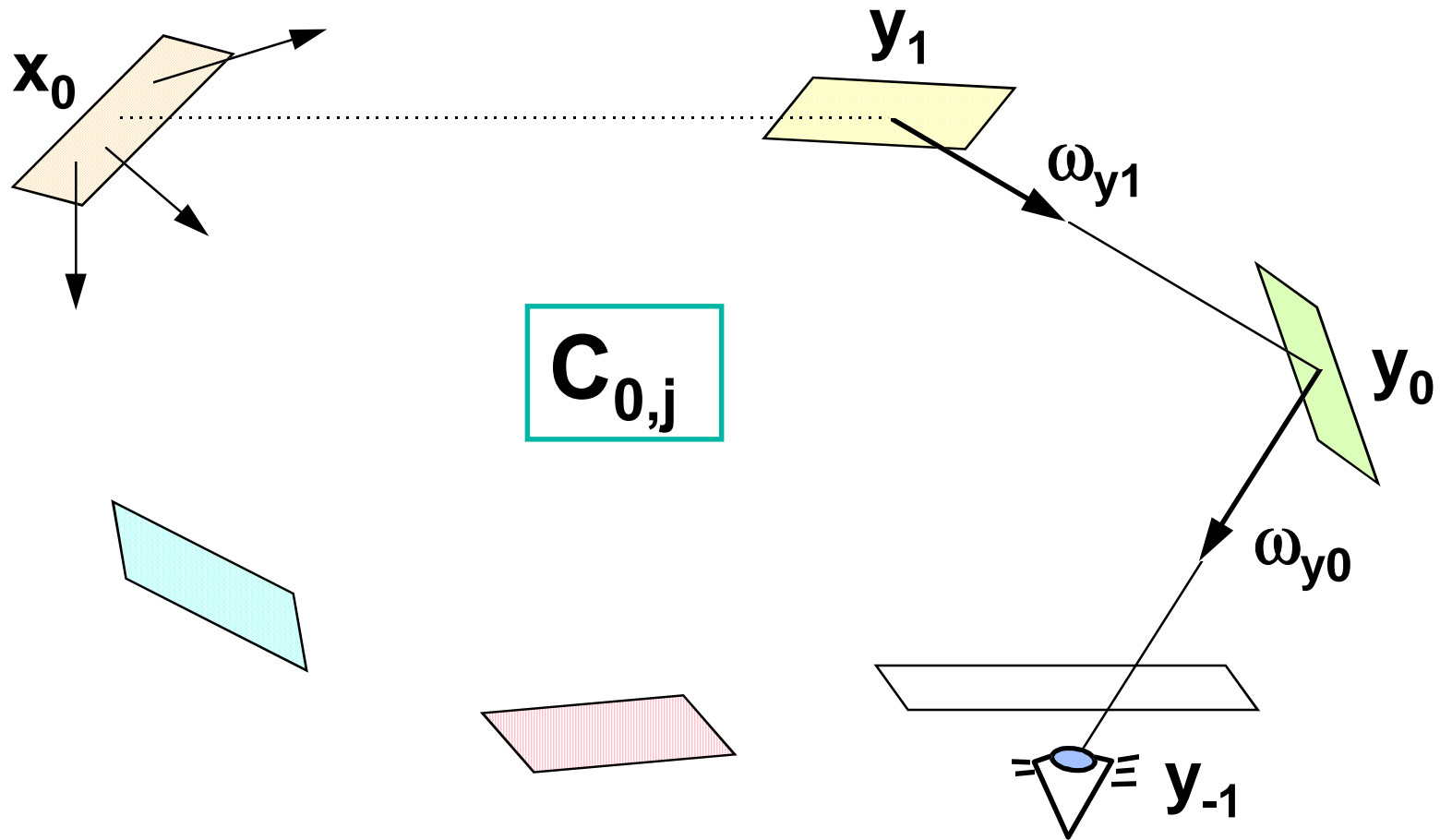


$C_{-1,j}$



# Path tracing s NEE

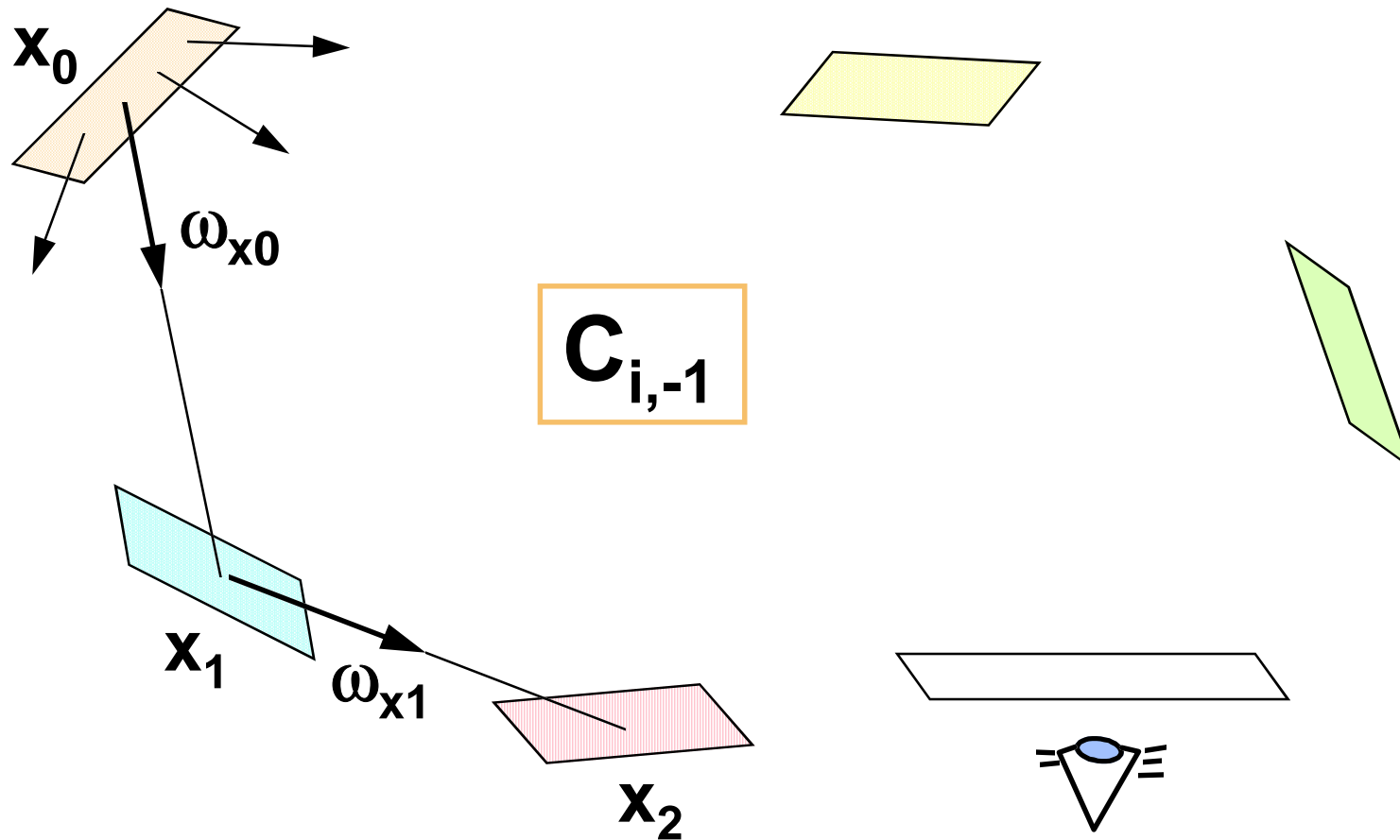
---





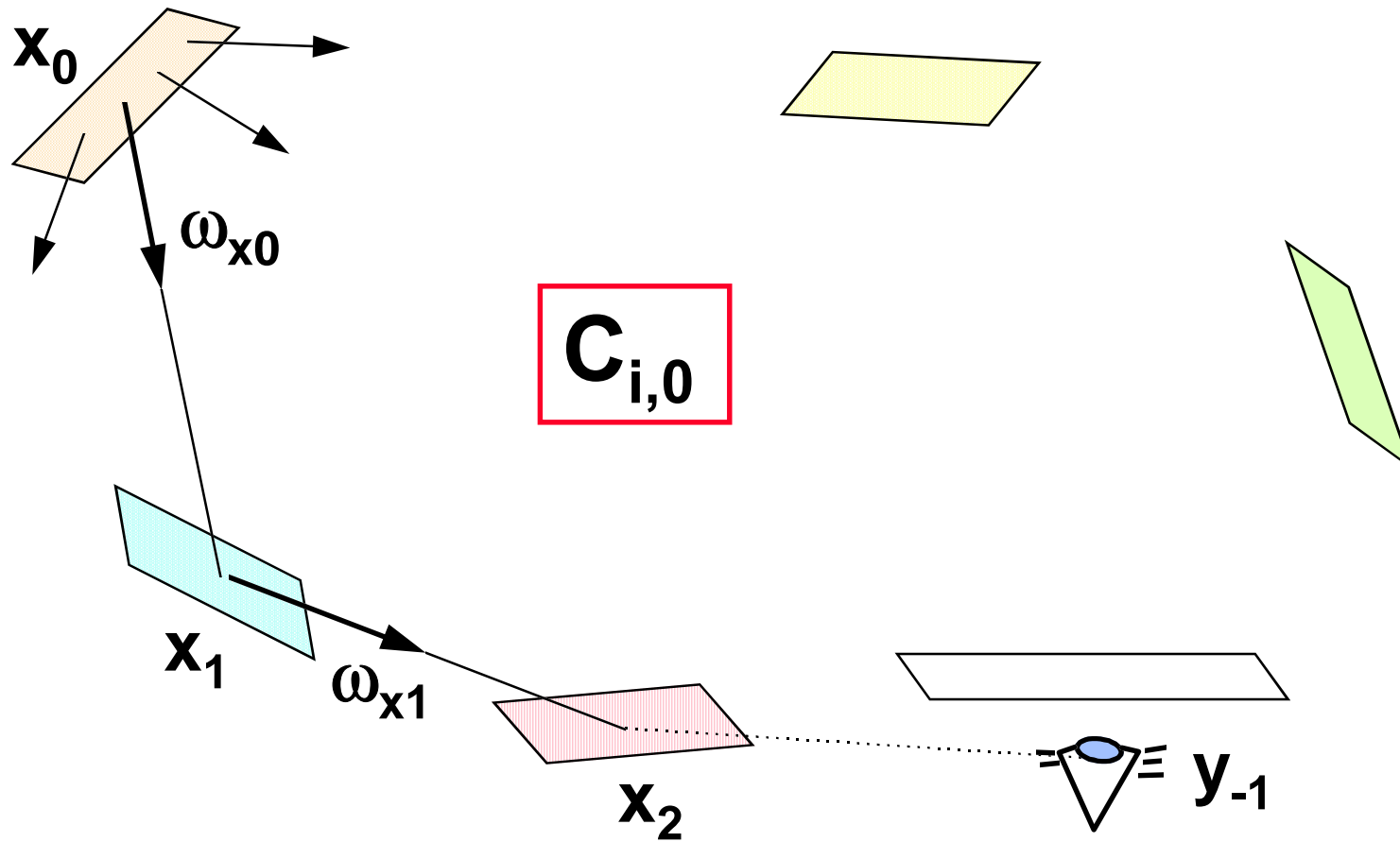
# Neuzavřená cesta od zdroje

---



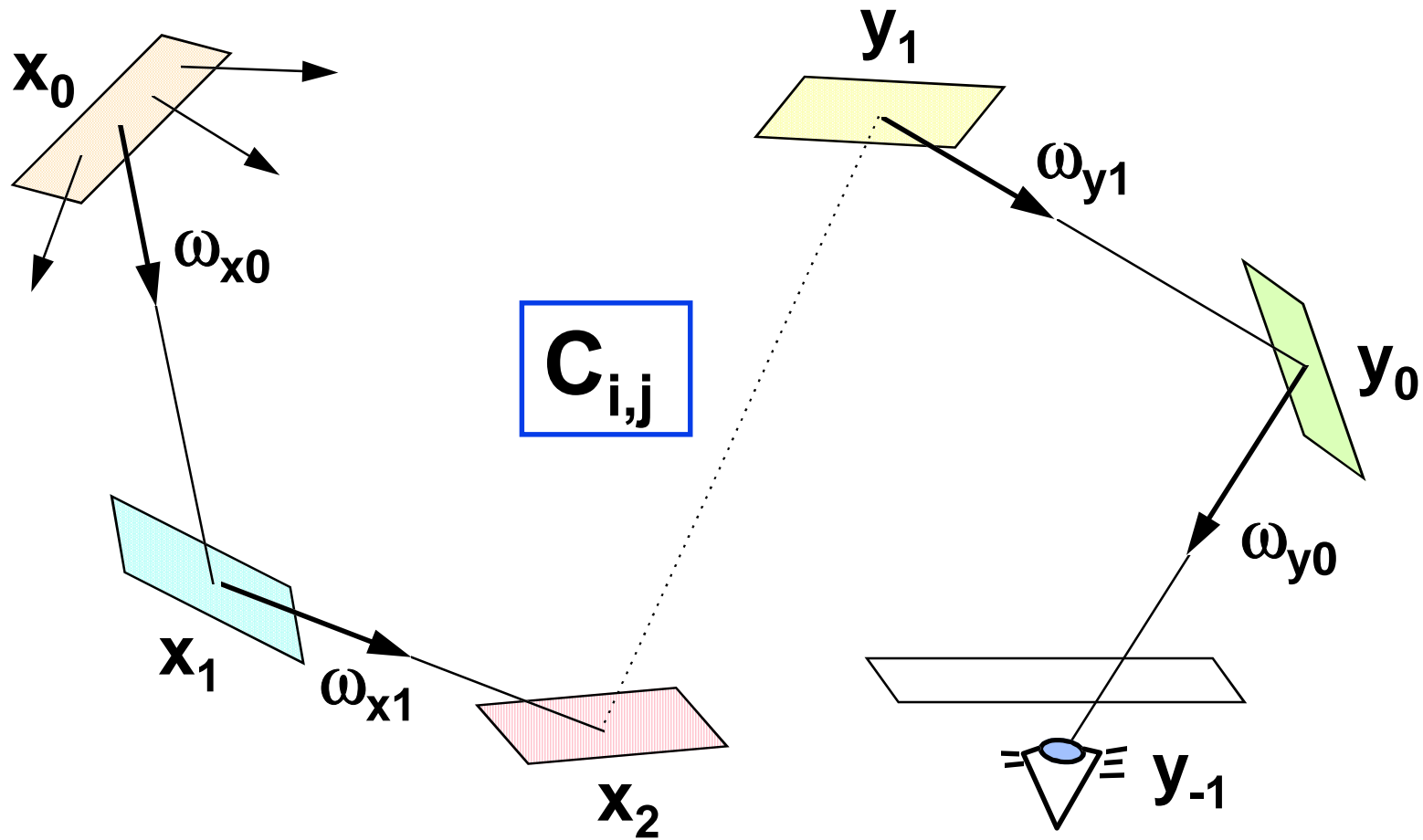
# Light tracing s NEE

---



# Kombinovaná cesta

---



# Efektivní implementace

---

- ◆ výpočet dvou **nezávislých náhodných procházek** zakončovaných ruskou ruletou
  - od světelného zdroje (délka  $\mathbf{k}^*$ ) a od receptoru ( $\mathbf{k}$ )
  - nebo jedna cesta ze zdroje do receptoru délky  $\mathbf{K}$
- ➔ kombinace **všech prefixů** obou cest
  - systematická chyba?
- ➔  $\mathbf{K}+2$  kombinace pro cestu pevné délky  $\mathbf{K}$ 
  - kombinovaný odhad - směs odhadů pro všechna  $\mathbf{K}$

# Konec

---

## Další informace:

- **E. Lafortune: *Mathematical Models and Monte Carlo Algorithms for Physically Based Rendering***, PhD thesis, KU Leuven, 65-102
- **A. Glassner: *Principles of Digital Image Synthesis***, Morgan Kaufmann, '95, 1037-1049
- **E. Veach, L. Guibas: *Optimally Combining Sampling Techniques for Monte Carlo Rendering***, SIGGRAPH '95